

京都大学防災研究所 正員 芦田 和男

" " 道上 正規

1 緒言

浮遊砂に関する研究は古くから行なわれてあり、細所の浮遊現象は流水の流れによる拡散現象であるとして、濃度分布の基礎方程式が導かれている。また、わが国においても流水が浮遊砂を含むことによって、その乱流構造の変化——カカルマン定数の変化——に関する理論的検討がなされ、粒子を含む流れの状態に関するわれわれの知見は広がりつつある。しかししながら、砂粒子の浮遊限界、浮遊粒子の粒度分布特性、河床附近の基準濃度、浮遊流砂量およびwash loadの諸特性に関する系統的な実験や理論的考察はあまりなされておらず、いままで未解明のものが数多く残されているに思われる。著者らは今後、矢尺問題を系統的に検討していく計画であるが、今回は浮遊粒子の粒度分布特性および河床附近の基準濃度に関する二、三の考察を試みたので、その結果について報告する。

2 実験の概要

循環式実験水路において、流れが定常状態になると、木路中央部における鉛直方向の濃度分布および流速分布の測定を行なった。浮遊粒子の粒度分布は採取資料を V.A. Tube 法による沈降分析の測定から求めた。浮遊砂の採取には、 $2mm \times 30mm$ の長方形断面の真鍮製サンプラーを使用して、サイフォン方式によって行なつた。使用砂としては図-1 の実線で示したものを用い、その中央粒径は $0.13mm$ である。

3 浮遊粒子の粒度分布特性

床水路流れにおける均一砂の定常状態の鉛直方向に関する濃度分布式は、Rouse によって提案された式で表示されることが可能である。混合砂の各種粒径ごとの砂粒子についても、Rouse の式が適用されると仮定すれば、次式のように表わされる。

$$C_i/C_{ai} = (h - z/z \cdot a/h - a)^{Z_i}, \quad \text{ただし } Z_i = w_i/KU_x \quad (1)$$

ここで、 C_i および C_{ai} : それそれぞれ沈降速度 w_i の砂粒子の河床からの高さの濃度および基準点の濃度、 K : カルマン定数、 U_x : 摩擦速度、 h : 水深、である。 (1) 式の形が混合砂の各種粒径ごとの砂粒子に適用しうることは著者らある吉川・福岡によってほぼ確かめられている。沈降速度 w_i の砂粒子の頻度分布 $f(w_i)$ は、 $f(w_i) = C_i / \sum C_i$ で表わされるので、いま河床附近の基準点ににおける頻度分布 $f_a(w_i)$ と河床砂のそれ $f_b(w_i)$ が等しい、すなわち $f_a(w_i) = f_b(w_i)$ を仮定すれば、鉛直方向における浮遊粒子の頻度分布は次式のように表される。

$$f_a(w_i) = f_b(w_i) (h - z/z \cdot a/h - a)^{Z_i} / \sum f_b(w_i) (h - z/z \cdot a/h - a)^{Z_i} \quad (2)$$

図-1 は河床砂のすべての砂粒子に対して、 $w_i/U_x < 1$ の状態の実験結果の一例である。こうした状態にありては、河床砂と底面附近の浮遊粒子との粒度分布は良く一致しており、 $f_a(w_i) = f_b(w_i)$ の仮定が妥当であることを示している。また、(2)式による計算結果と実験値は比較的よく一致しており、この図から鉛直方向の浮遊粒子の粒度特性の変化を理解することができる。一方、すべての河床砂に対して、 $w_i/U_x < 1$ が成立しないうな場合には、図-1 に示すよう、 $f_a(w_i) \neq f_b(w_i)$

とする。こうした状態では、砂粒子の浮遊限界が重要な役割を演じ、混合砂の特性と関連して今後検討されなければならぬ実であると思われる。ここでは、(2)式における $f_b(w_s)$ のかわりに、 $f_a(w_s)$ を用いて浮遊粒子の拡散を検討しに結果が図-2に曲線で示されている。乱流拡散によって生起する浮遊粒子の粒度分布のパターンと実験値とは比較的一致している。このことからも(1)式の関係が混合砂に対して成立すると考えられるが、基準濃度を河床砂から推定する方法が検討されなければならぬ。

さらに、これらの図から砂粒子の浮遊限界を検討してみると、 $w_s/U_* \approx 0.7$ 付近の値が、その限界を示しているようであって、興味ある実験結果のよう思われる。浮遊限界については、こうして実験結果の集積とともに、流水の乱れと砂粒の interaction との関係が理論的に考察されなければならぬ。

浮遊砂の最大粒径 d_{99} と中央粒径 d_{50} に関する河床砂のそれとの比を示したもののが図-3である。図-3の(I)は図-2に対応するものであるが、最大粒径と中央粒径に関する鉛直方向の変化は顕著でない。一方、(II)の方はそれらの値が鉛直方向にかなり変化しており、当然のことながらこれらは図-1, 2 とよく対応している。

4 河床付近の濃度

河床付近の濃度の指定方法は、浮遊流砂量を計算するにあたってきわめて重要な意義を有している。著者らは、河床付近の濃度は揚流砂層の濃度に等しいと仮定して、

$$C_a \propto g_B / U_* d \quad (3)$$

の関係を検討した。その結果が図-4に示されている。ただし、 C_a としては $Z/h = 0.1$ の濃度を採用し、また、 g_B としては佐藤・吉川・芦田公式を用いた。 $g_B / U_* d$ の $1, 2, 3$ (粗度係数の大きさ lower regime) では、粗度の影響があらわれているようであり、また実験値のばらつきもみられるが、全体的には(3)式の関係が成立しているようである。今後河床粗度とこの問題とを関連させて検討されなければならないと考えている。最後に、終始御指導をされたまわりました京大防災研究所矢野勝正教授ならびに実験資料を提供して下さった田中裕一郎助手に感謝の意を表明します。

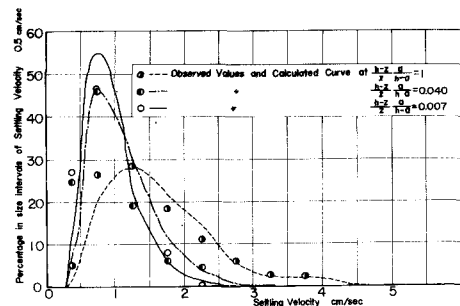


図-1 浮遊粒子の頻度分布 ($U_* = 5.84 \text{ cm/sec}$)

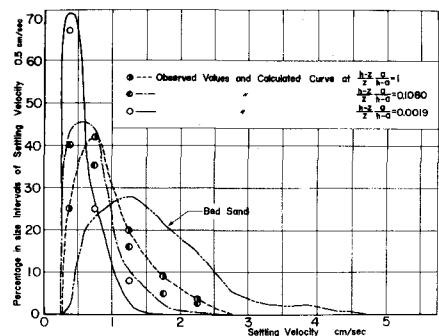


図-2 浮遊粒子の頻度分布 ($U_* = 3.94 \text{ cm/sec}$)

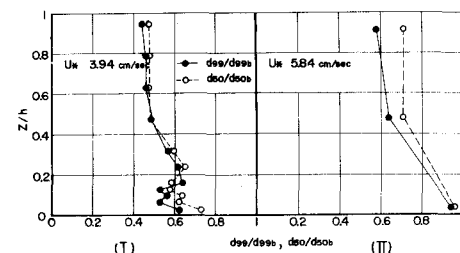


図-3 最大粒径と中央粒径の鉛直方向の変化

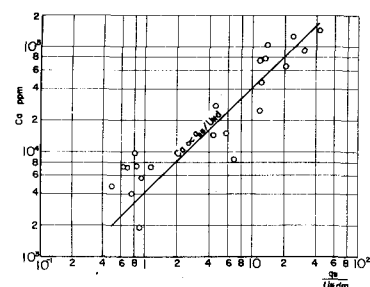


図-4 河床付近濃度